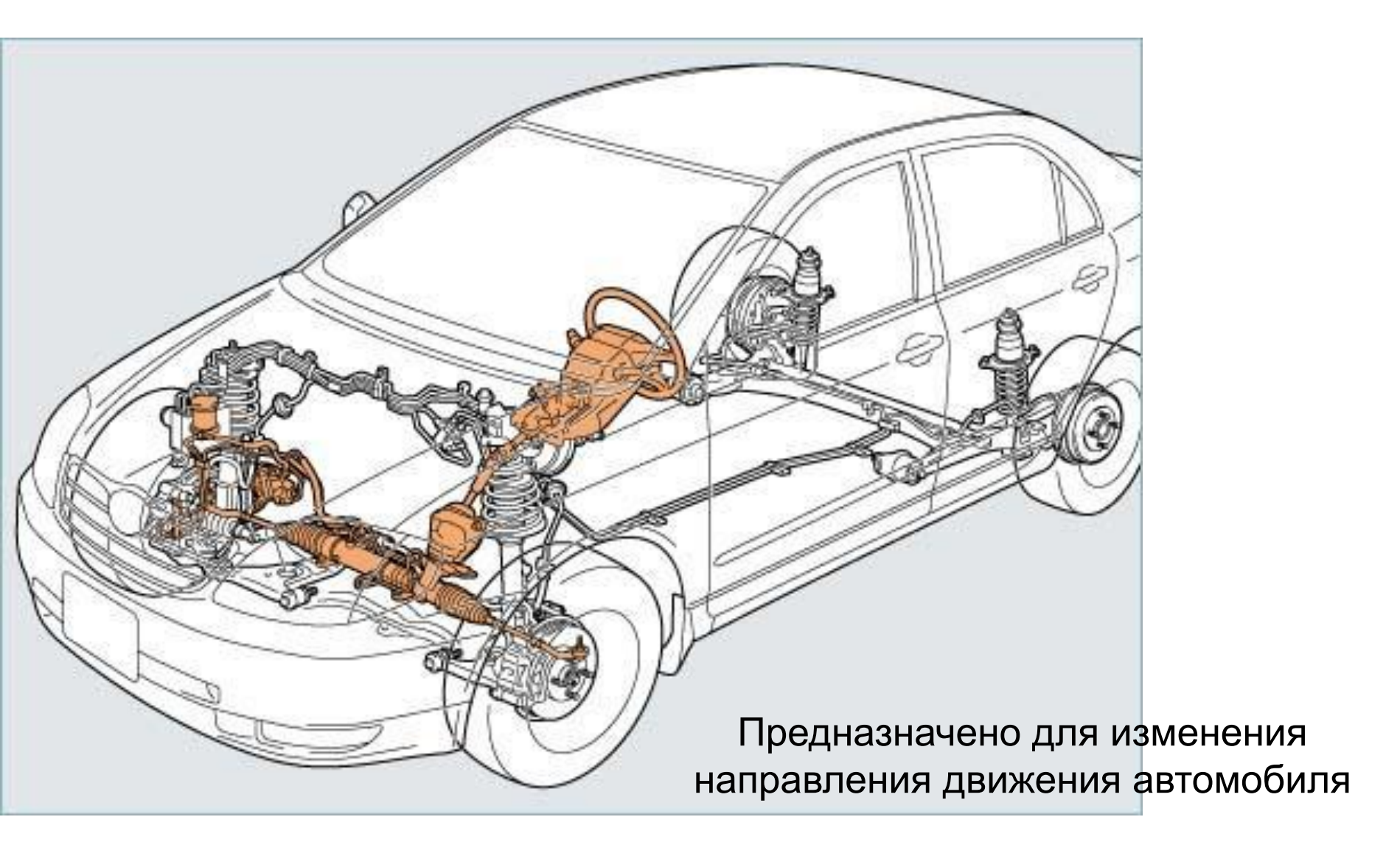
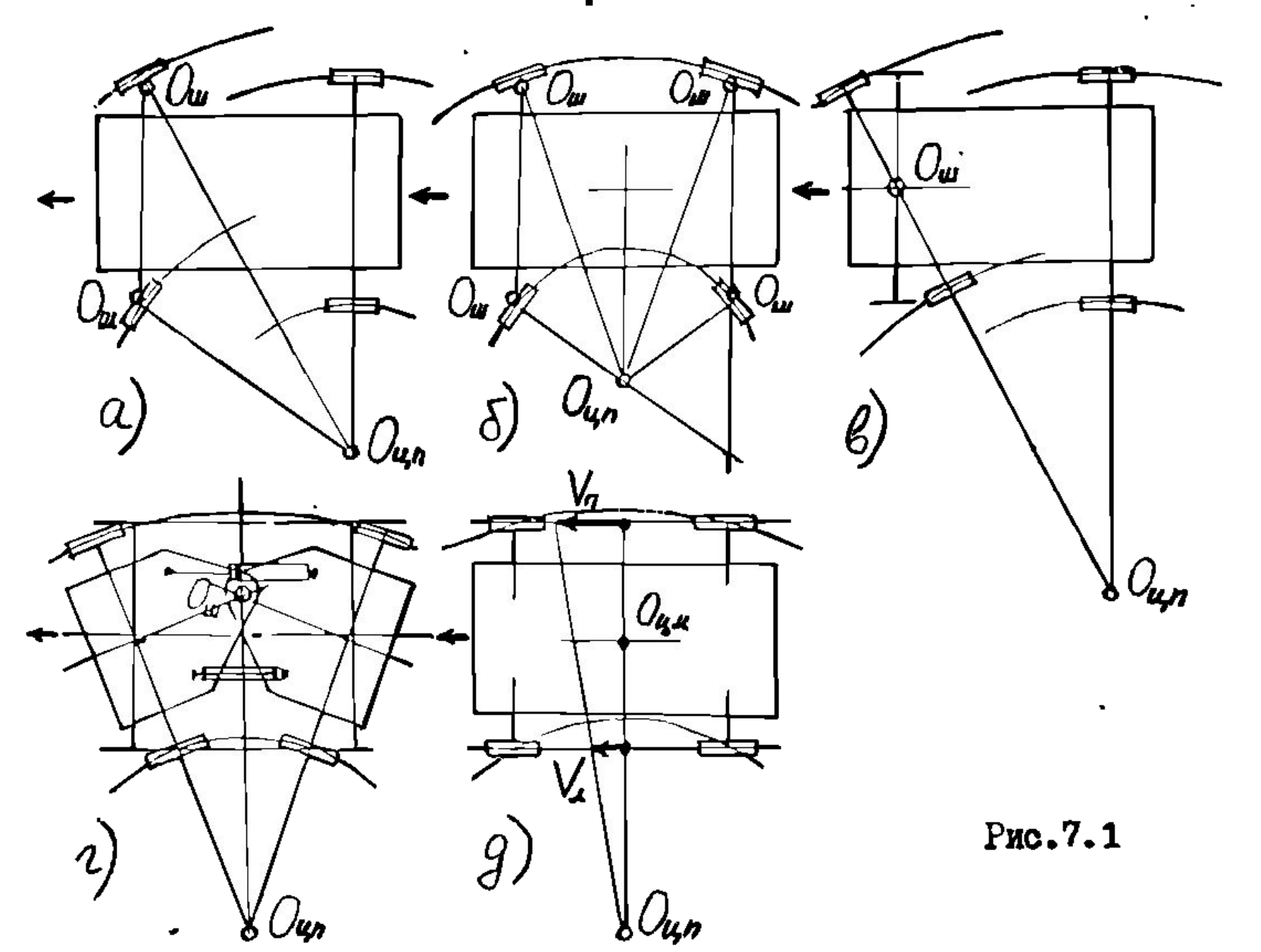
# Рулевое управление



# Требования

- Обеспечение высокой маневренности
- Легкость и удобство управления
- Соответствие радиуса поворота управляющему воздействию водителя
- Высокая надежность
- Минимальное боковое скольжение колес при повороте автомобиля
- Кинематическая согласованность с подвеской.
- Стабилизация управляемых колес
- Минимальные вибрации и отсутствие автоколебаний

#### Способы поворота автомобиля



# Схема поворота

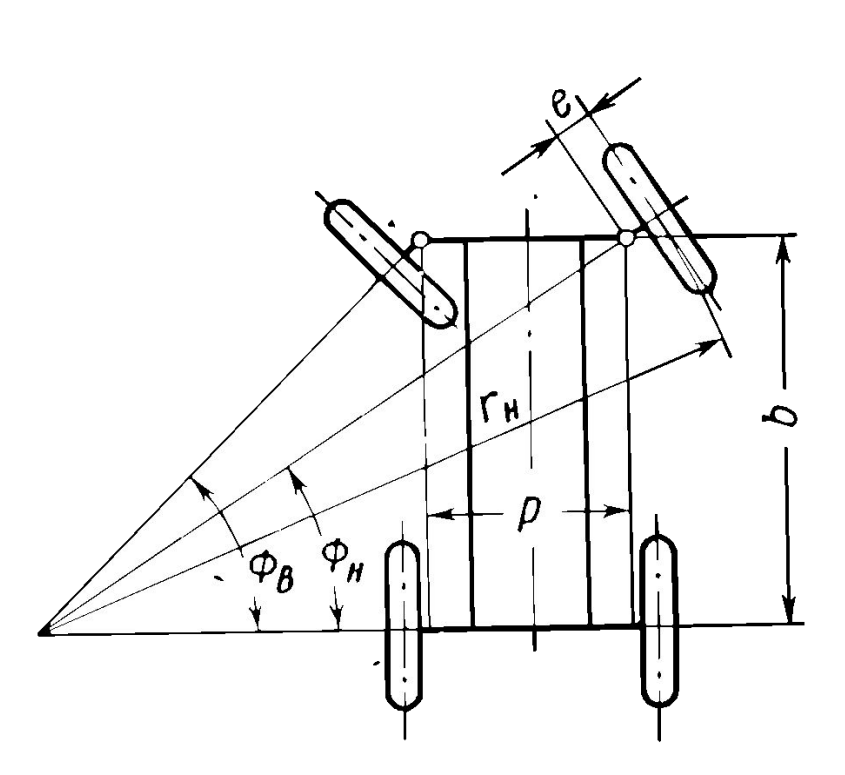


Рис. 187. Схема поворота автомобиля с жесткими колесами

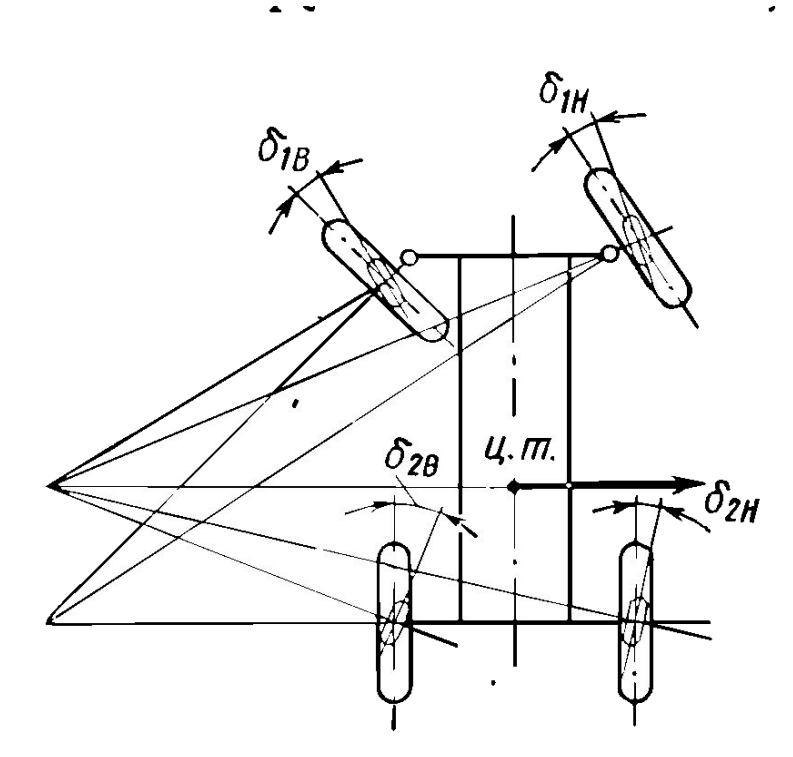
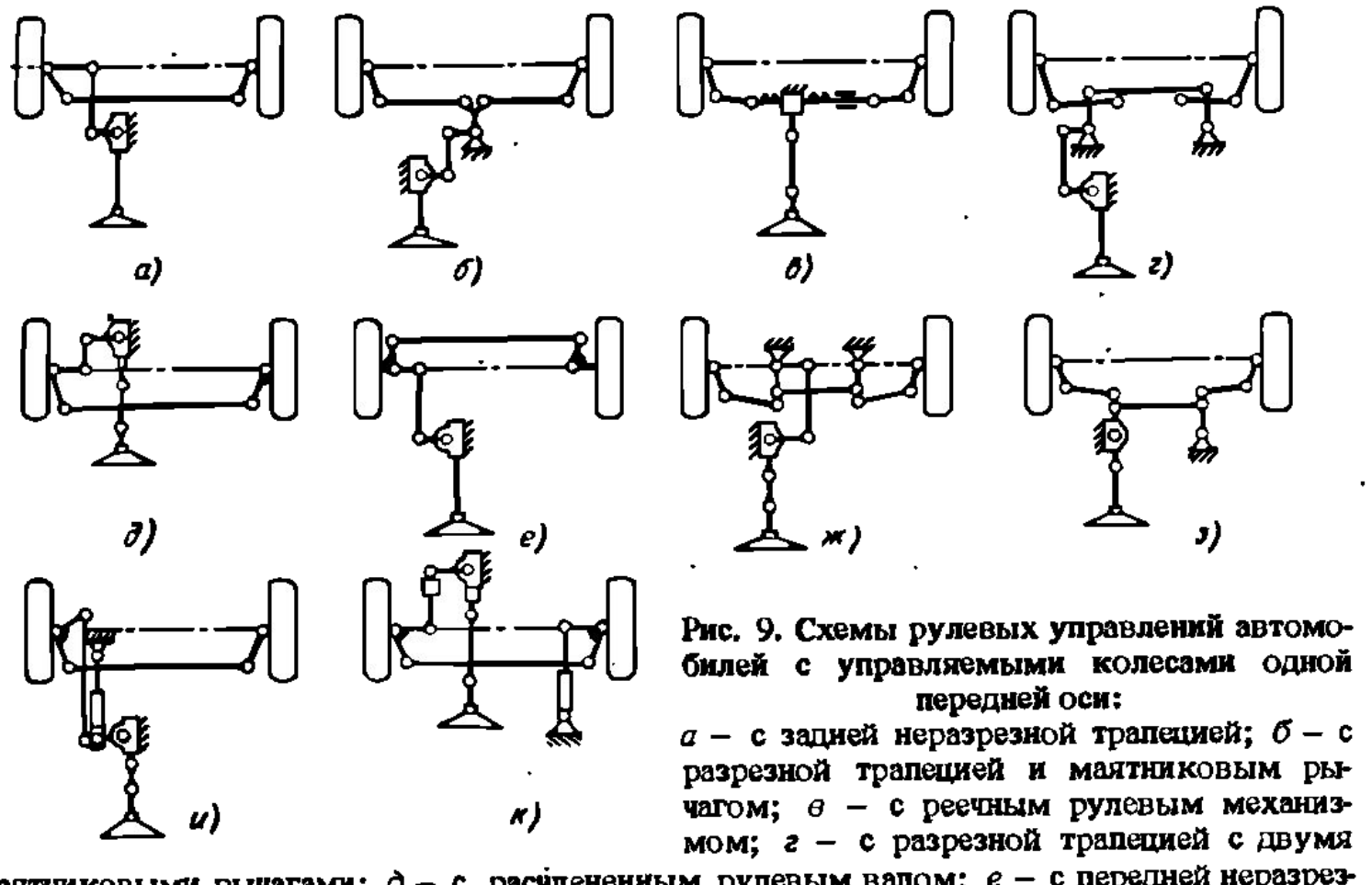


Рис. 186. Схема поворота автомобиля с эластичными шинами

# Схемы рулевых управлений



маятниковыми рычагами;  $\partial$  — с расчлененным рулевым валом; e — с передней неразрезной трапецией;  $\mathbf{x}$  — с разрезной трапецией и двумя маятниковыми рычагами, направленными назад;  $\mathbf{z}$  — с разрезной трапецией и одним маятниковым рычагом;  $\mathbf{u}$  — с неразрезной трапецией и объединенным рулевым усилителем;  $\mathbf{x}$  — с неразрезной трапецией и раздельным рулевым усилителем

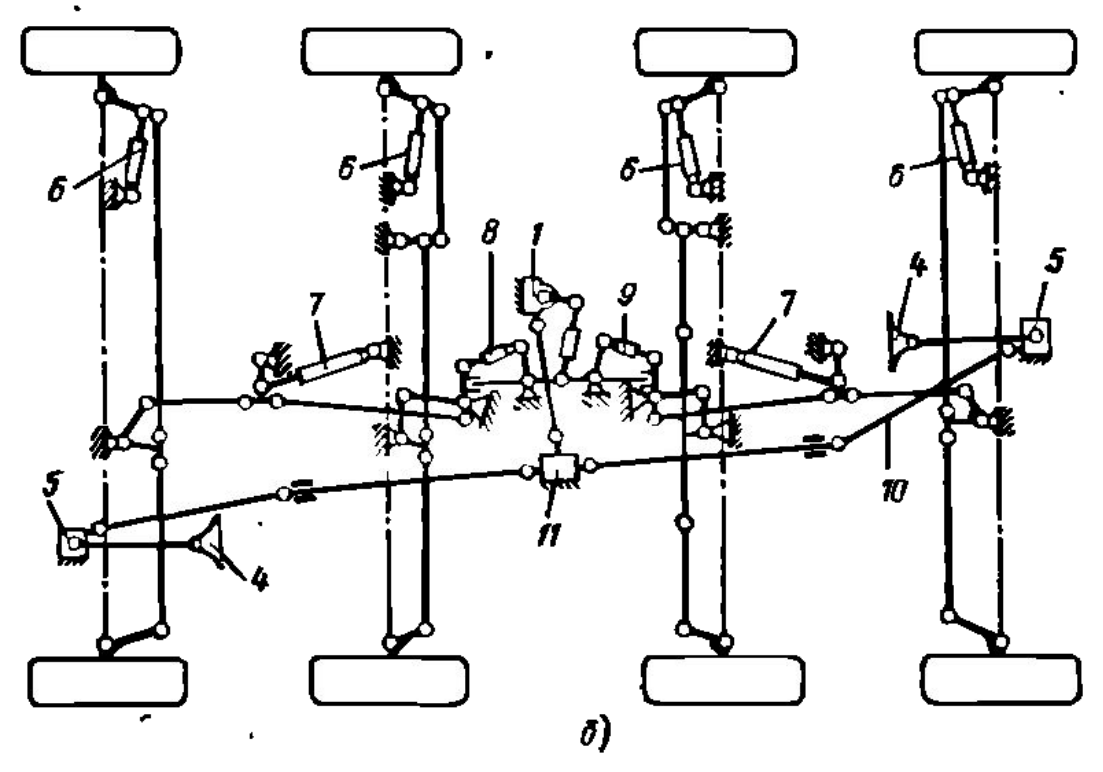


Рис. 12. Схема рулевого управления четырехосного автомобиля с управляемыми колесами: a — крайних осей;  $\delta$  — всеми; l — рулевая передача; 2 — распределитель; 3 — цилиндр усилителя рулевого управления; 4 — рулевое колесо; 5 и 11 — редукторы;  $\delta$  — амортизатор; 7 — цилиндр усилителя; 8 и 9 — гидроцилиндры блокировочного устройства; 10 — карданная передача

# Рабочий процесс

$$P_{PK} = \frac{M_C}{r_{PK} u_{PY} \eta_{PY}}$$

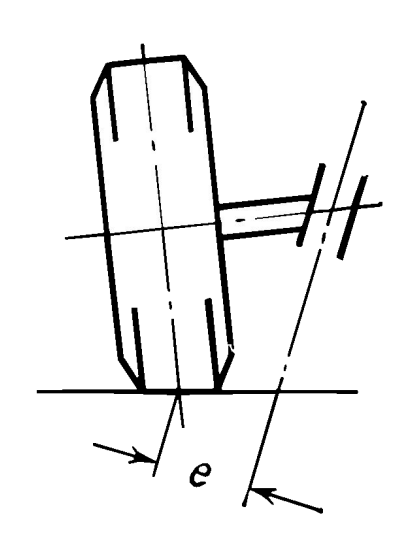


Рис. 188. Плечо обката

#### Для поворота на месте

$$M_{C_1} = 0.33 \varphi \sqrt{\frac{G_{K_1}^3}{10^4 p_{III}}}$$
  $unu$   $M_{C_1} = \varphi G_{K_1} \sqrt{e \frac{J_0}{F_K}}$ 

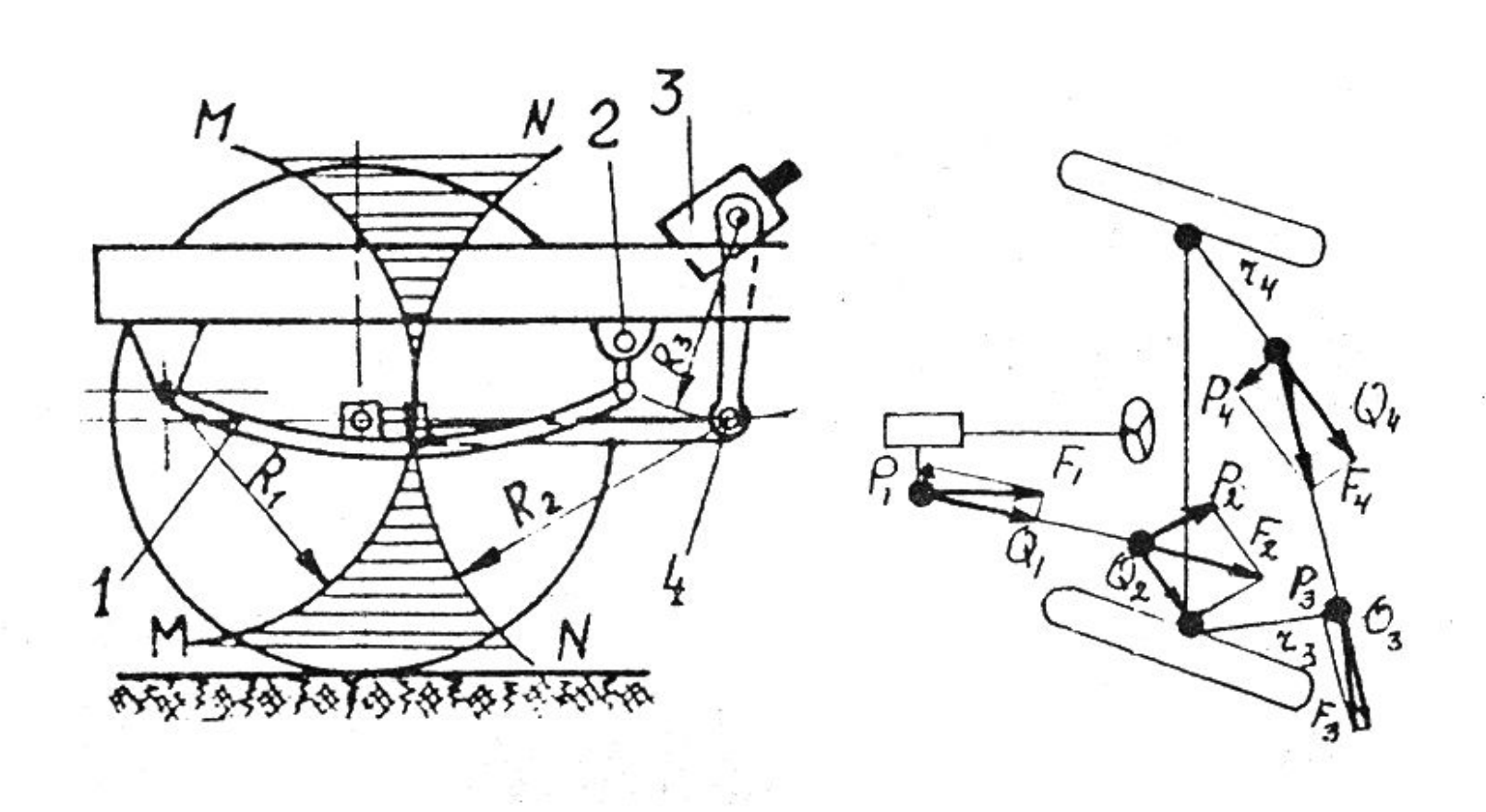
### Рабочий процесс

Легковые автомобили

$$P_{\!\!P\!K}<1$$
 (M)  $P_{\!\!P\!K}<1$  (20 )  $P_{\!\!P\!K}=150...200$  Грузовые автомобили  $P_{\!\!P\!K}<25$  (120 )  $P_{\!\!P\!K}=200...300$   $u_{P\!Y}=u_{P\!\Pi}u_{P\!M}; \quad u_{P\!\Pi}=0,9...1,2 \quad (2,0)$   $u_{P\!M}=15...20 \quad (20...25)$ 

$$\eta_{PM} = 0,70...0,85$$

# Согласование кинематики и силы в рулевом управлении



# Рулевой привод

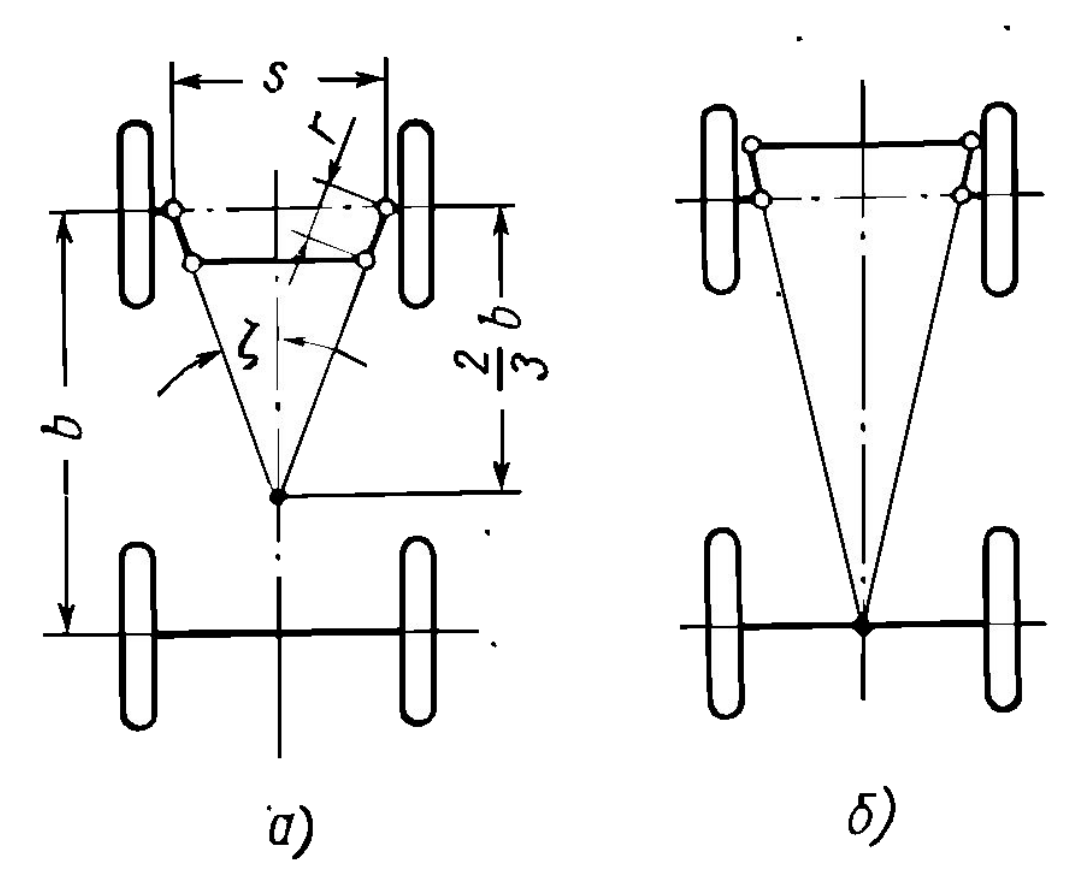
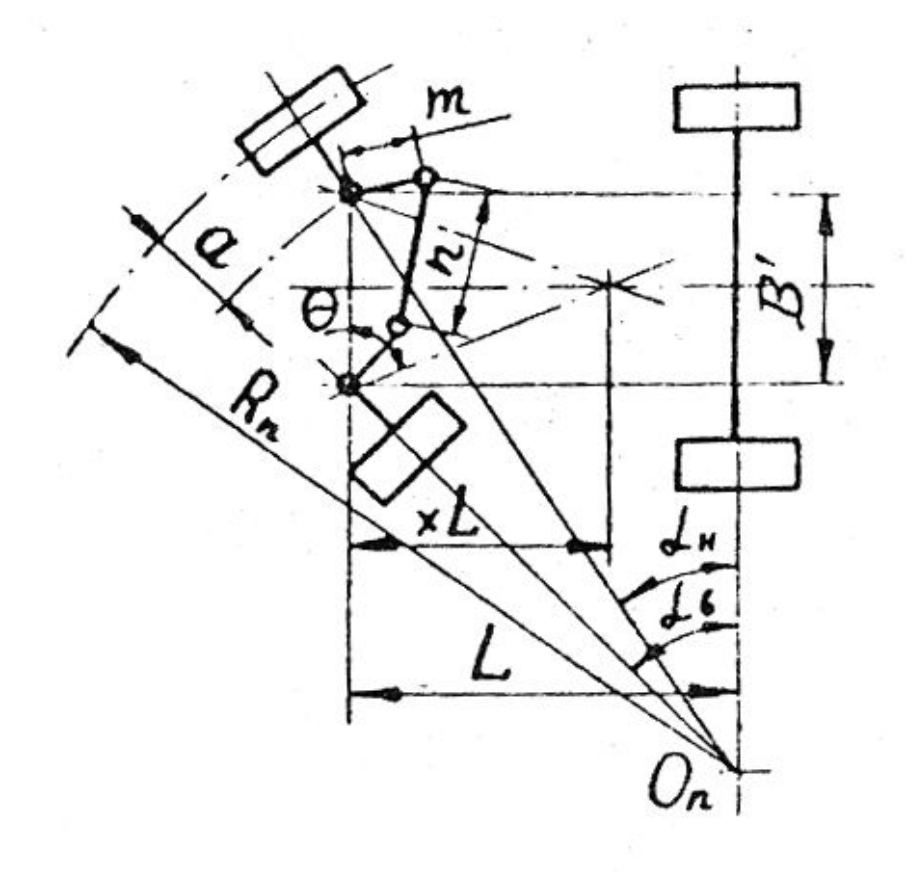


Рис. 190. К выбору углов наклона рычагов рулевой трапеции:

а и б — соответственно при заднем и переднем расположениях рулевой трапеции

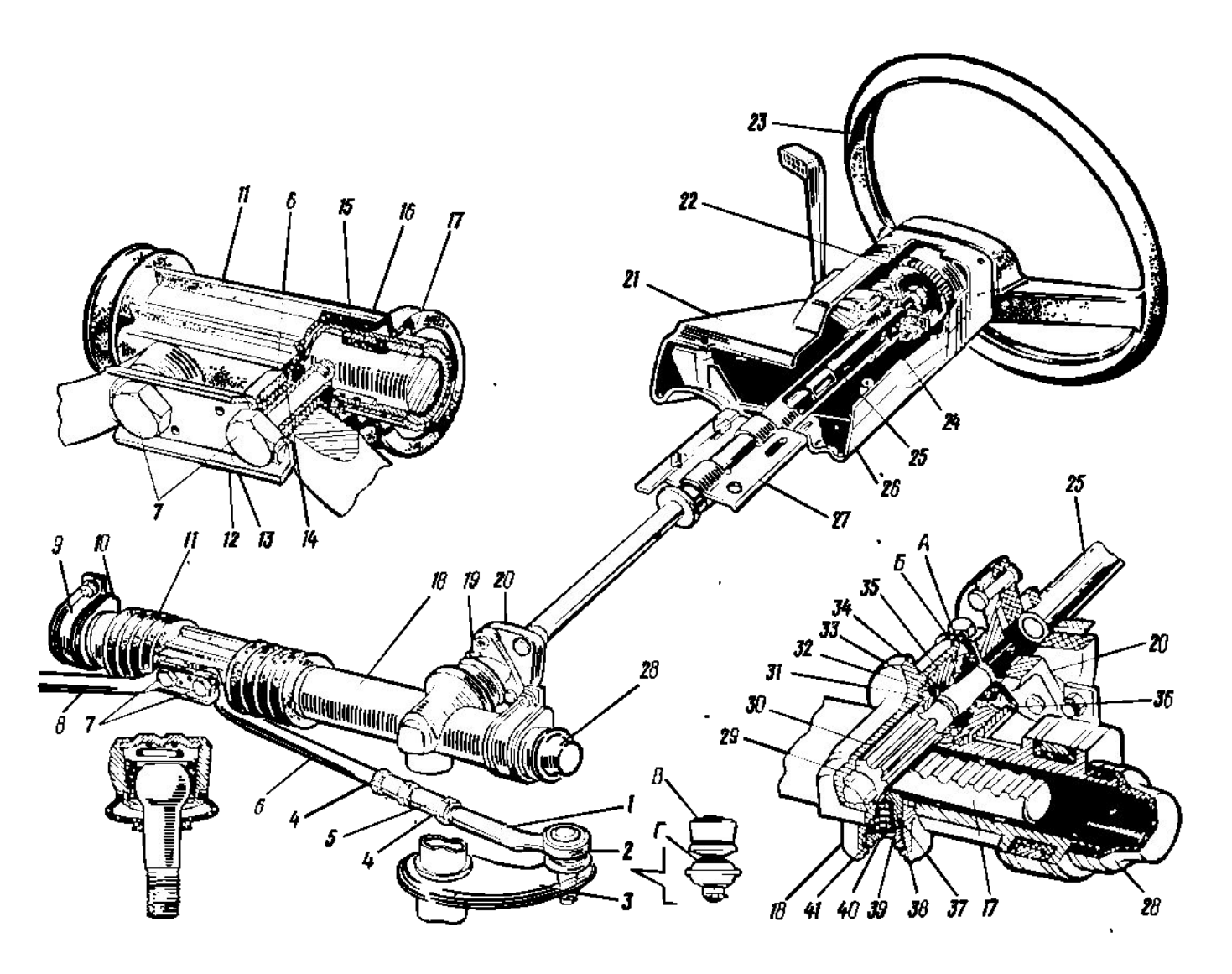


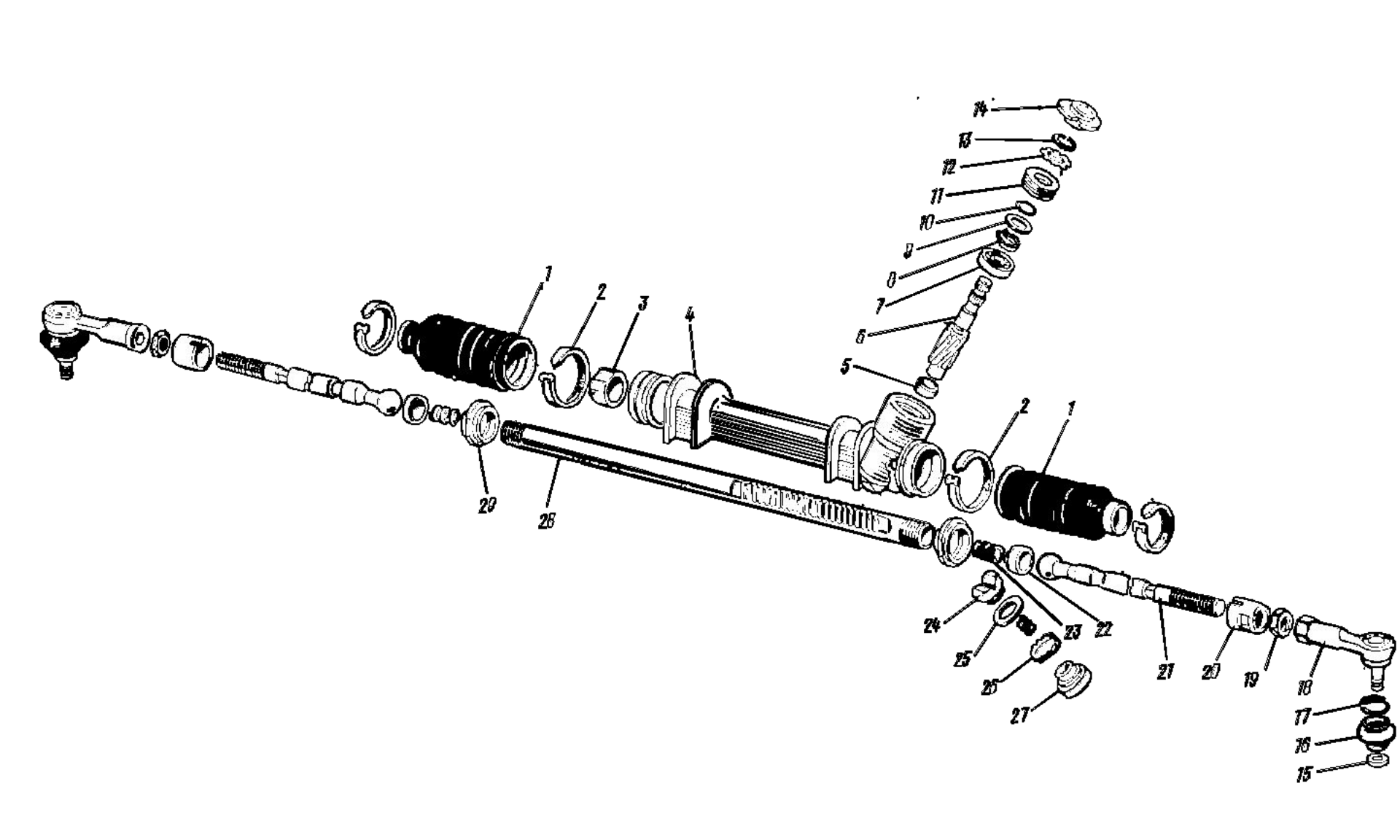
$$ctg\alpha_{H} - ctg\alpha_{B} = \frac{B'}{L}$$

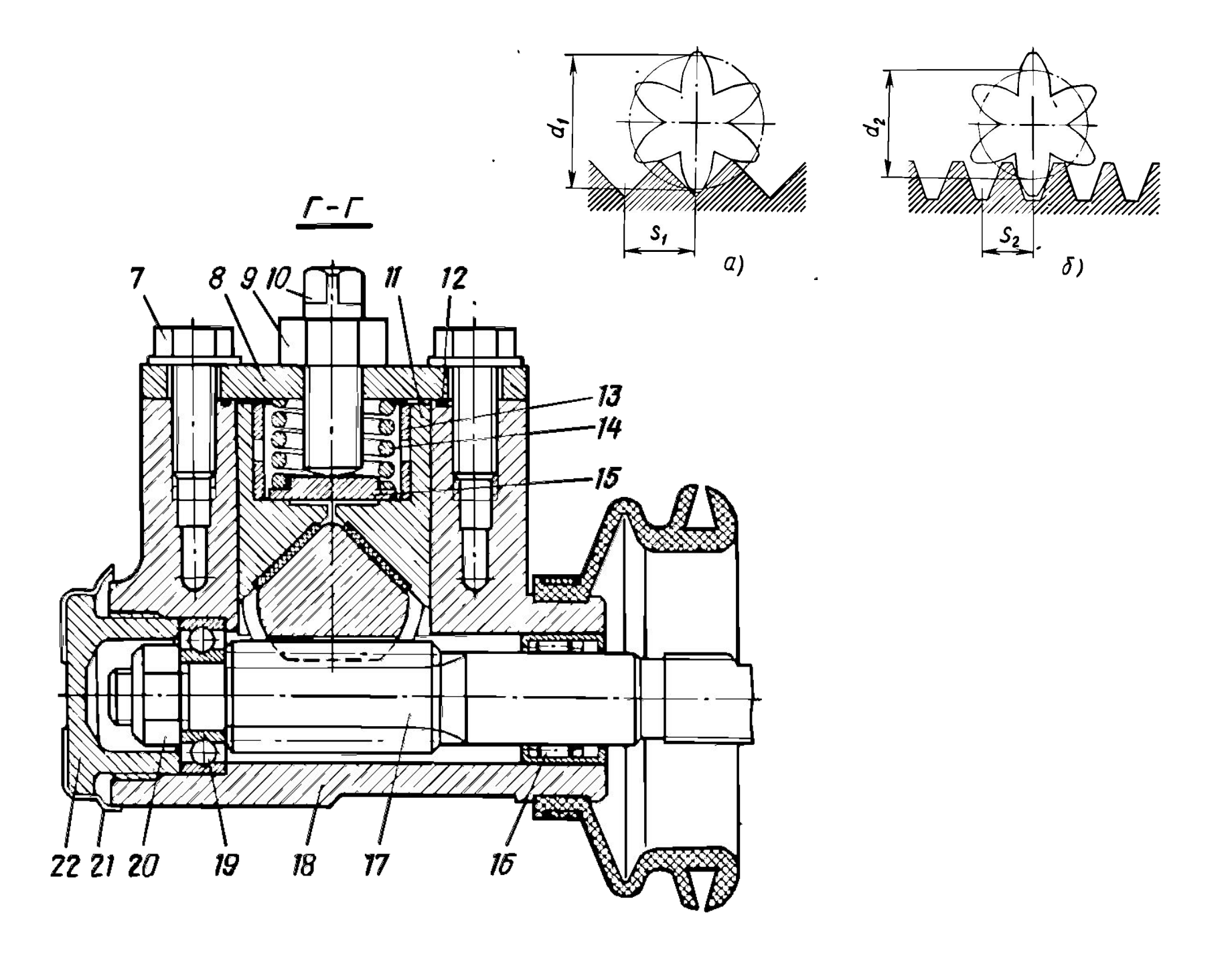
$$\alpha_{H} = \theta + arctg \frac{m \cdot \cos(\theta + \alpha_{B})}{B' - m \cdot \sin(\theta + \alpha_{B})} -$$

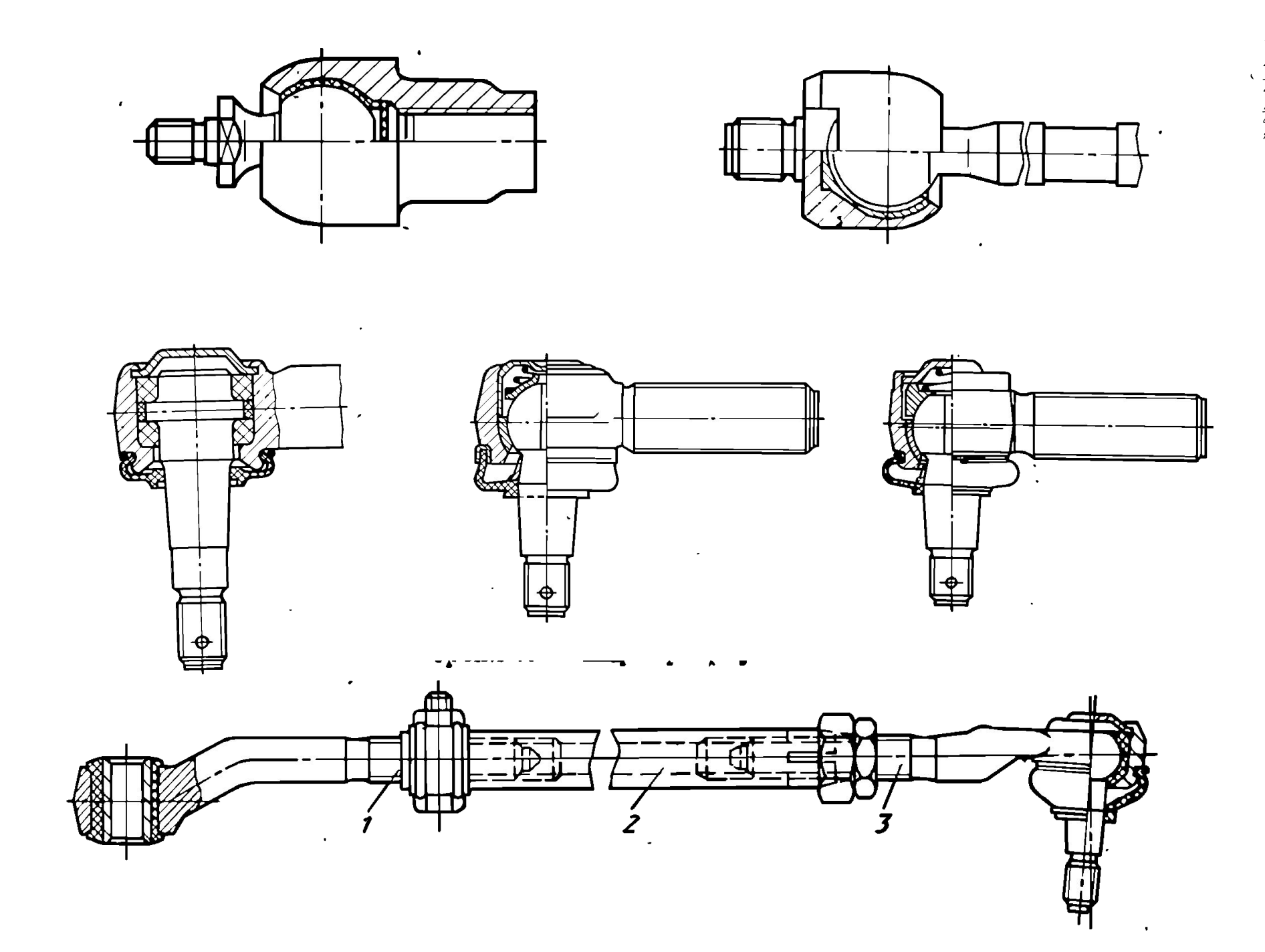
$$-\arcsin\frac{m+2B'\sin\theta-2m\sin^2\theta-B'\sin(\theta+\alpha_B)}{\sqrt{B'^2+m^2-2B'm\sin(\theta+\alpha_B)}}$$

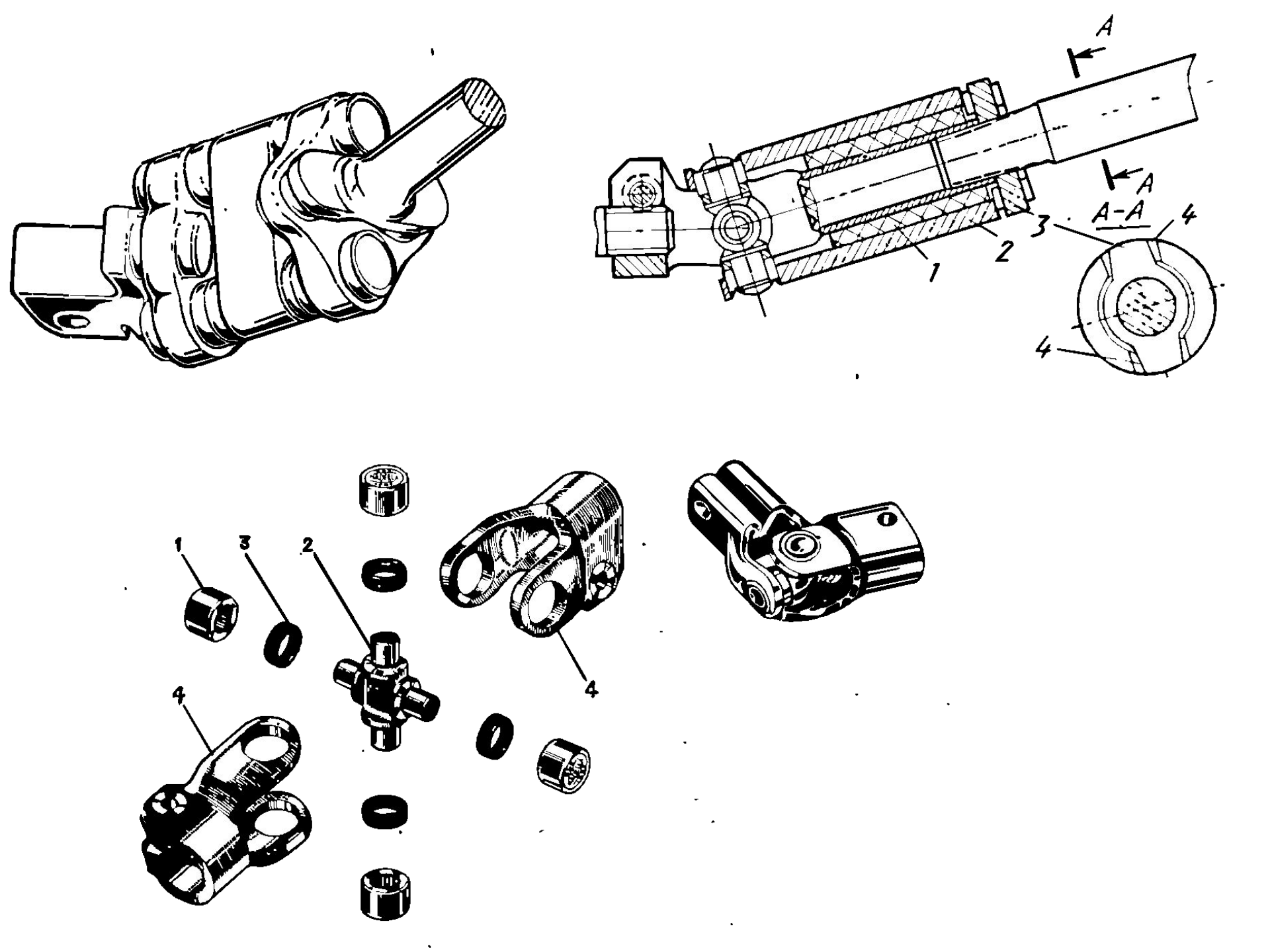
# Рулевые управления

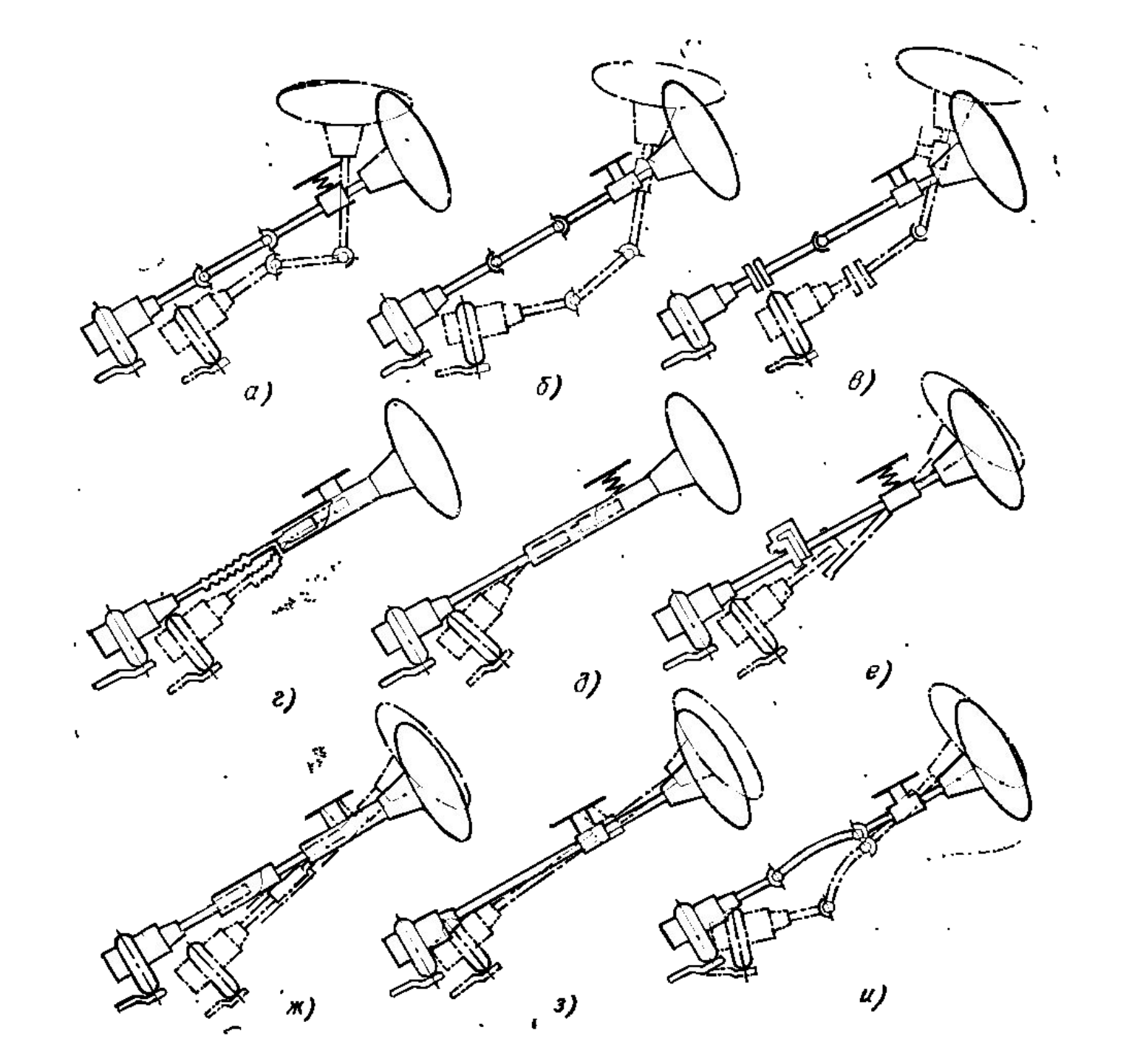




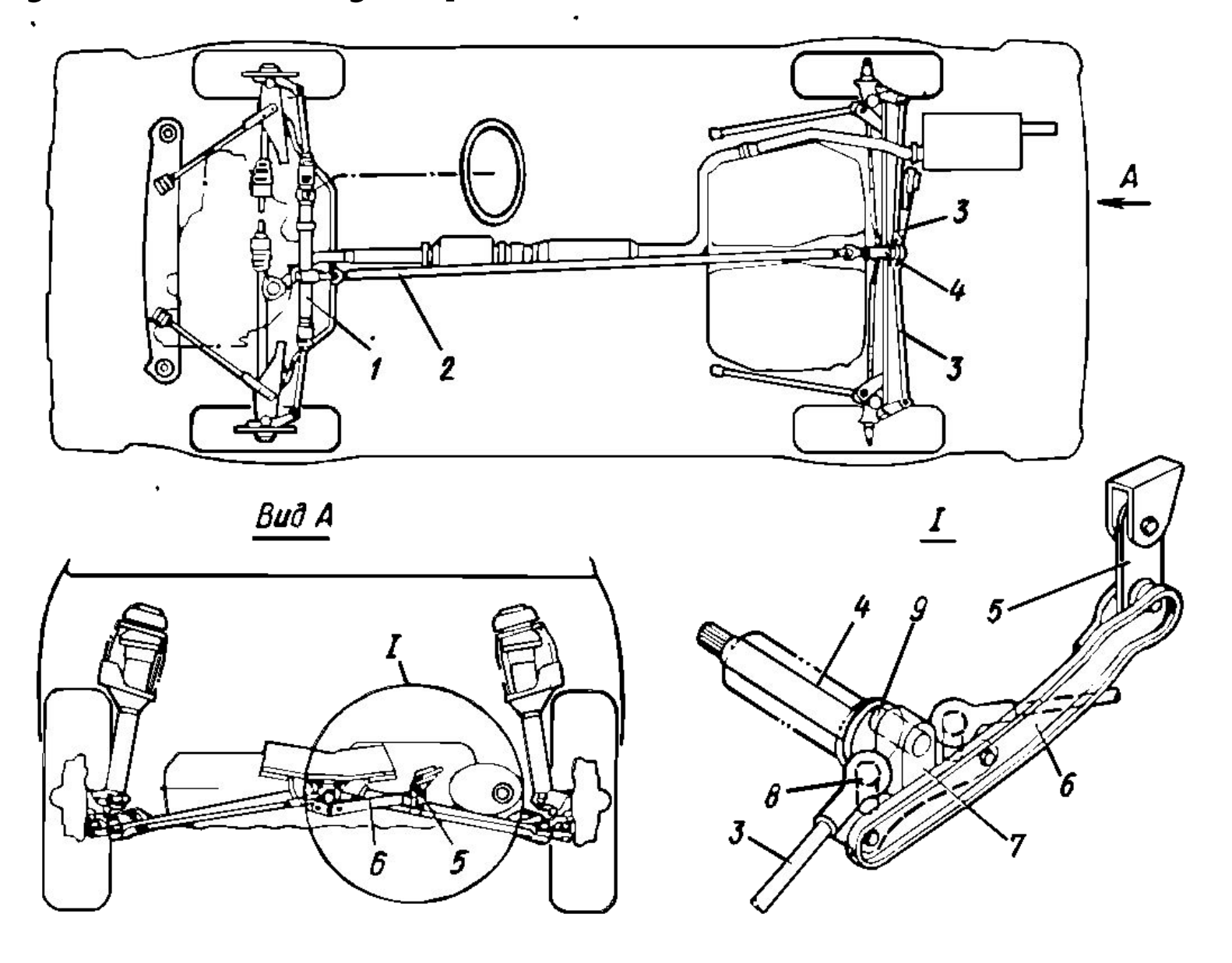




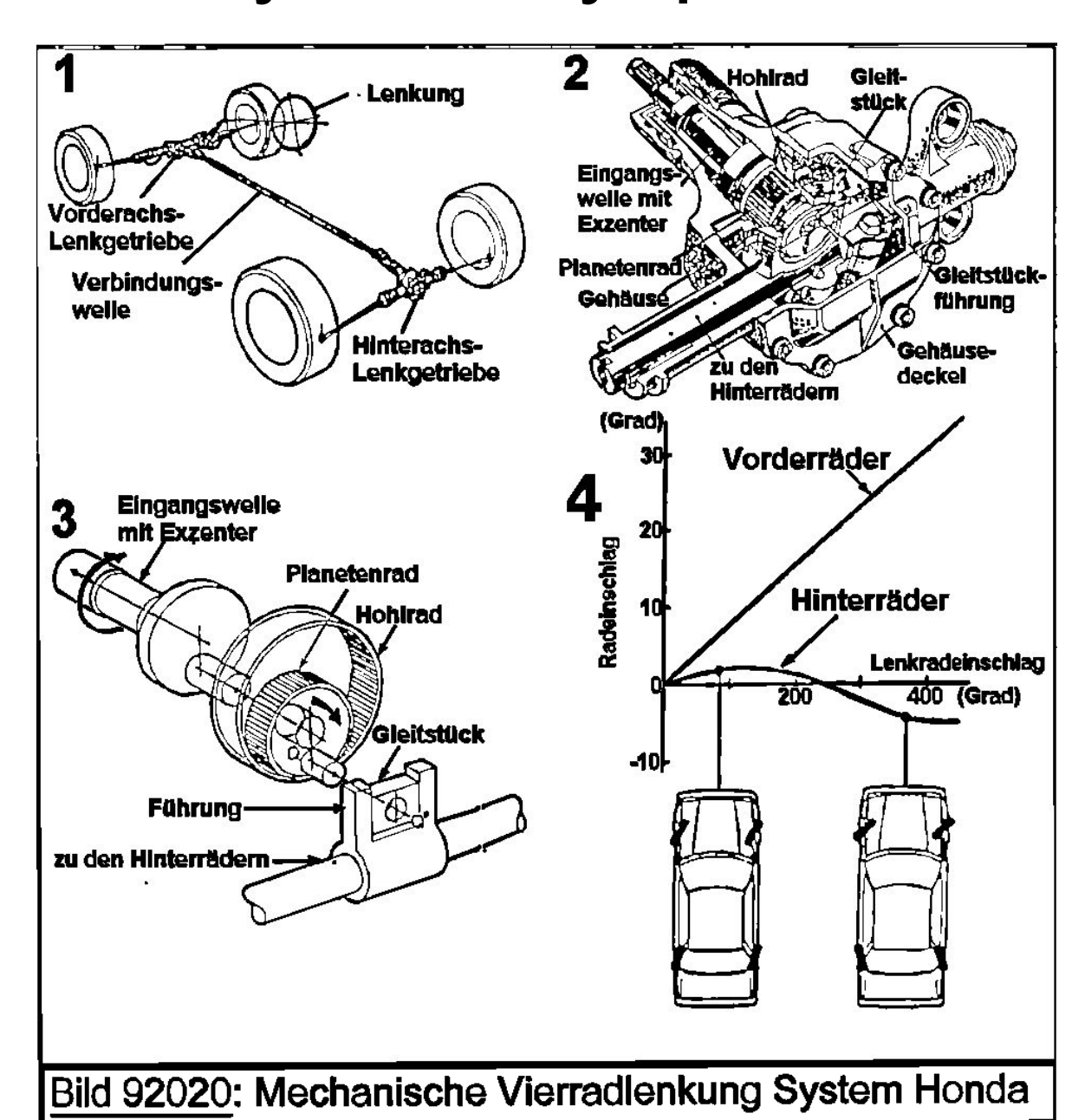




# Рулевое управление HONDA



#### Рулевое управление HONDA



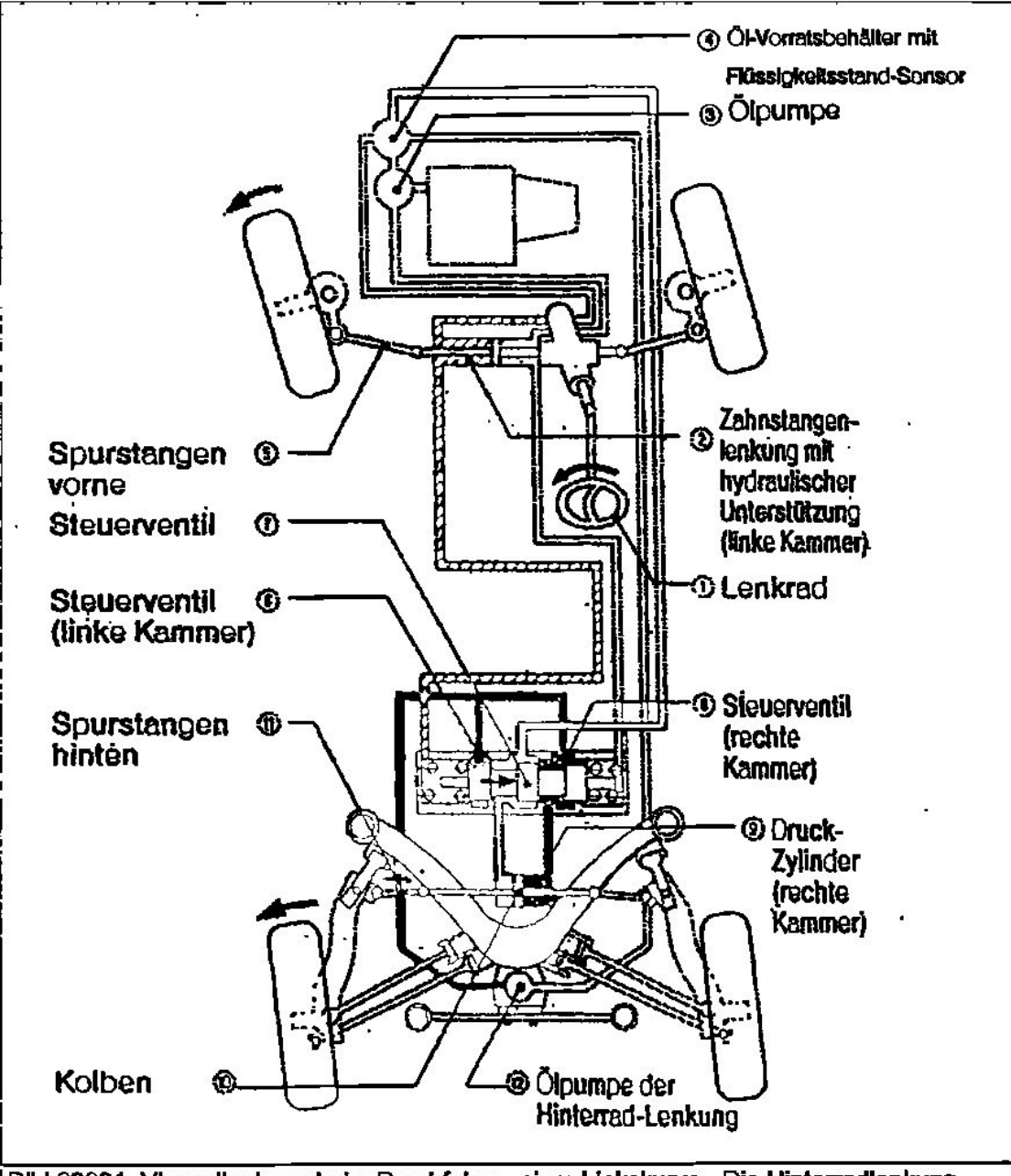


Bild 92021: Vierradlenkung beim Durchfahren einer Linkskurve - Die Hinterradlenkung - der Lenkausschlag ist auf maximal 1,5° limitiert - arbeitet mit zwei Druckkreisen: Über der Servolelkung der Vorderräder wird der Steuerschieber für die Hinterradlenkung betätigt, eine geschwindigkeitsabhängige, vom Hinterradantrieb aktivierte Ölpumpe liefert den Druck für die Lenkbewegung.

